

САНКТ-ПЕТЕРБУРГСКИЙ ПОЛИТЕХНИЧЕСКИЙ УНИВЕРСИТЕТ ИМЕНИ  
ПЕТРА ВЕЛИКОГО

ИНСТИТУТ ПРИКЛАДНОЙ МАТЕМАТИКИ И МЕХАНИКИ  
ВЫСШАЯ ШКОЛА ПРИКЛАДНОЙ МАТЕМАТИКИ И ФИЗИКИ

**Математическая статистика**  
**Отчёт по лабораторной работе №9**

Выполнил:

Студент: Сачук Александр

Группа: 5030102/90201

Принял:

к. ф.-м. н., доцент

Баженов Александр Николаевич

2022 г.

## Содержание

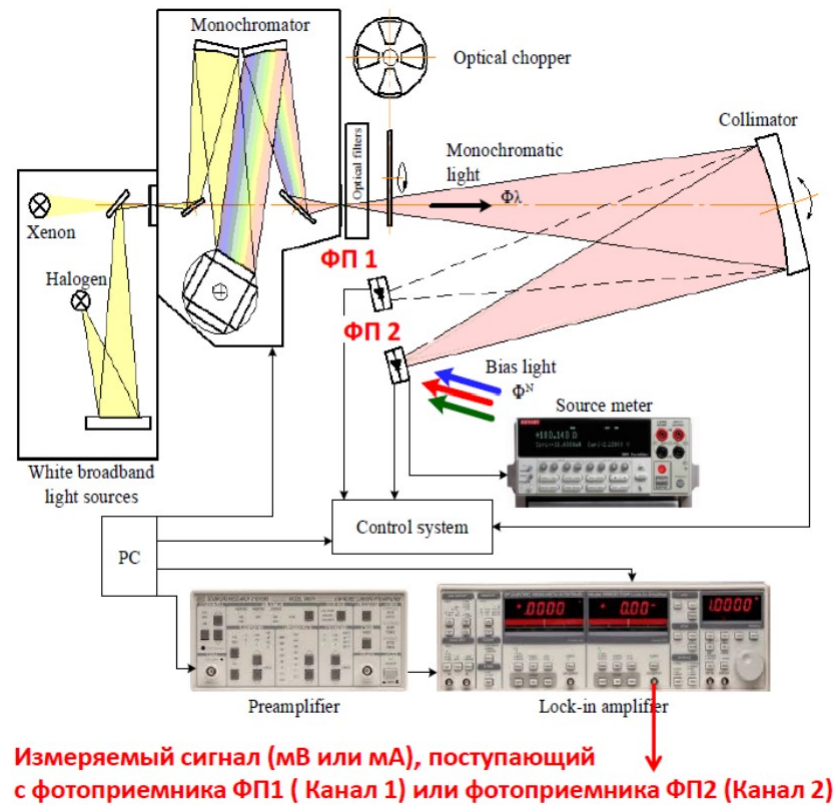
1. Постановка задачи . . . . .	3
2. Теория . . . . .	4
2.1. Представление данных . . . . .	4
2.2. Линейная регрессия . . . . .	4
2.2.1. Описание модели . . . . .	4
2.2.2. Метод наименьших модулей . . . . .	4
2.3. Предварительная обработка данных . . . . .	5
2.4. Коэффициент Жаккара . . . . .	5
2.5. Процедура оптимизации . . . . .	6
3. Результаты . . . . .	7
4. Реализация . . . . .	10
5. Обсуждение . . . . .	11
6. Список литературы . . . . .	12
7. Ссылки на репозиторий . . . . .	13

## Список иллюстраций

1. Схема установки для исследования фотоэлектрических характеристик. . .	3
2. Исходные данные из экспериментов . . . . .	7
3. Интервальное представление исходных данных . . . . .	7
4. Линейная модель дрейфа данных . . . . .	7
5. Гистограммы значений множителей коррекции $w$ . . . . .	8
6. Скорректированные модели данных . . . . .	8
7. Гистограммы скорректированных данных . . . . .	8
8. Значение коэффициента Жаккара от калибровочного множителя от $R_{21}$	9
9. Гистограмма объединённых данных при оптимальном значении $R_{21}$ . .	9

## 1. Постановка задачи

**Постановка задачи.** Исследование из области солнечной энергетики [1]. На рис 1 показана схема установки для исследования фотоэлектрических характеристик.



**Рис. 1.** Схема установки для исследования фотоэлектрических характеристик.

Калибровка датчика ФП1 производится по эталону ФП2. Зависимость между квантовыми эффективностями датчиков предполагается одинаковой для каждой пары измерений

$$QE_2 = \frac{I_2}{I_1} * QE_1 \quad (1)$$

QE - квантовые эффективности эталонного и исследуемого датчиков, I - измеренные токи.

**Исходные данные.** Имеется 2 выборки данных с интервальной неопределенностью. Одна из них относится к эталонному датчику ФП2, другая - к исследуемому датчику ФП1.

**Задача.** Требуется определить коэффициент калибровки

$$R_{21} = \frac{I_2}{I_1} \quad (2)$$

при помощи линейной регрессии на множестве интервальных данных и коэффициента Жаккара.

## 2. Теория

### 2.1. Представление данных

В первую очередь представим данные таким образом, чтобы применить понятия статистики данных с интервальной неопределенностью.

Один из распространенных способов получения интервальных результатов в первичных измерениях - это "обинтерваливание" точечных значений, когда к точечному базовому значению  $x_0$ , которое считывается по показаниям измерительного прибора, прибавляется *интервал погрешности*  $\epsilon$ :

$$\mathbf{x} = \dot{x} + \epsilon \quad (3)$$

Интервал погрешности зададим как

$$\epsilon = [-\epsilon; \epsilon]$$

В конкретных измерениях примем  $\epsilon = 10^{-4}$  мВ.

Согласно терминологии интервального анализа, рассматриваемая выборка - это вектор интервалов, или интервальный вектор  $x = (x_1, x_2, \dots, x_n)$ .

### 2.2. Линейная регрессия

#### 2.2.1. Описание модели

Линейная регрессия - регрессионная модель зависимости одной переменной от другой с линейной функцией зависимости:

$$y_i = X_i b_i + \epsilon_i$$

где  $X$  - заданные значения,  $y$  - параметры отклика,  $\epsilon$  - случайная ошибка модели. В случае, если  $y$  нас  $y_i$  зависит от одного параметра  $x_i$ , то модель выглядит следующим образом:

$$y_i = b_0 + b_1 * x_i + \epsilon_i \quad (4)$$

В данной модели мы пренебрегаем погрешностью и считаем, что она получается при измерении  $y_i$ .

#### 2.2.2. Метод наименьших модулей

Для наиболее точного приближения входных с фотоприемников данных  $y_i$  линейной регрессией  $f(x_i)$  используется метод наименьших модулей. Этот метод основывается на минимизации нормы разности последовательности:

$$\|f(x_i) - y_i\|_{l^1} \rightarrow \min \quad (5)$$

В данном случае ставится задача линейного программирования, решение которой дает нам коэффициенты  $b_0$  и  $b_1$ , а также вектор множителей коррекции данных  $w$ . По итогу получается следующая задача линейного программирования

$$\sum_{i=1}^n |w_i| \rightarrow \min \quad (6)$$

$$b_0 + b_1 * x_i - w_i * \epsilon \leq y_i, i = 1..n \quad (7)$$

$$b_0 + b_1 * x_i + w_i * \epsilon \leq y_i, i = 1..n \quad (8)$$

$$1 \leq w_i, i = 1..n \quad (9)$$

### 2.3. Предварительная обработка данных

Для оценки постоянной, как можно будет увидеть далее, необходима предварительная обработка данных. Займемся линейной моделью дрейфа.

$$Lin(n) = A + B * n, n = 1, 2, ...N \quad (10)$$

Поставив и решив задачу линейного программирования, найдем коэффициенты  $A$ ,  $B$  и вектор  $w$  множителей коррекции данных для каждого из фотоприемников ФП1 и ФП2: для данных с первого фотоприемника  $A = 4.74835$ ,  $B = 9.17308 * 10^{-6}$ , а для данных со второго -  $A = 5.18171$ ,  $B = 1.10476 * 10^{-5}$ . В последствии множитель коррекции данных необходимо применить к погрешностям выборки, чтобы получить данные, которые согласовывались с линейной моделью дрейфа:

$$I^f(n) = \dot{x}(n) + \epsilon * w(n), n = 1, 2, ...N \quad (11)$$

По итоге необходимо построить "спрямленные" данные выборки: получить их можно путем вычитания из исходных данных линейную компоненту:

$$I^c(n) = I^f(n) - B * n, n = 1, 2, ...N \quad (12)$$

### 2.4. Коэффициент Жаккара

Коэффициент Жаккара - мера сходства множеств. В интервальных данных рассматривается некоторая модификация этого коэффициента: в качестве меры множества (в данном случае интервала) рассматривается его длина, а в качестве пересечения и объединения - взятие минимума и максимума по включению двух величин в интервальной арифметике Каухера соответственно. Можно заметить, что в силу возможности минимума по включению быть неправильным интервалом, коэффициент Жаккара может достигать значения только в интервале  $[-1; 1]$ .

$$JK(x) = \frac{wid(\wedge x_i)}{wid(\vee x_i)} \quad (13)$$

## 2.5. Процедура оптимизации

Чтоб найти оптимальный параметр калибровки  $R_{21}$  необходимо поставить и решить задачу максимизации коэффициента Жаккара, зависящего от параметра калибровки:

$$JK(I_1^c(n) * R \cup I_2^c(n)) \Rightarrow \max \quad (14)$$

где  $I_1^c$  и  $I_2^c$  - полученные спрямленные выборки, а  $R$  - параметр калибровки. Найденный таким образом  $R$  и будет искомым оптимальным  $R_{21}$  в силу наибольшего совпадения, оцененного коэффициентом Жаккара.

## 3. Результаты

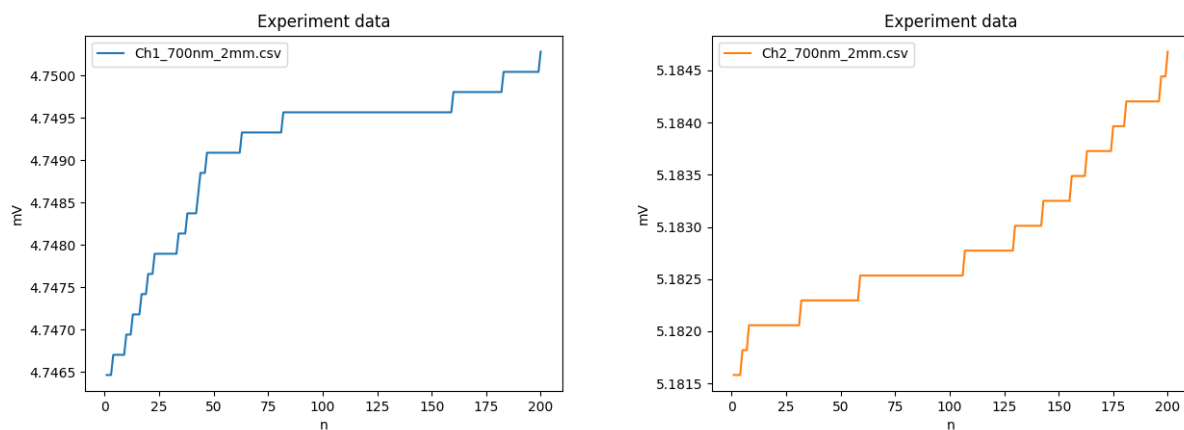


Рис. 2. Исходные данные из экспериментов

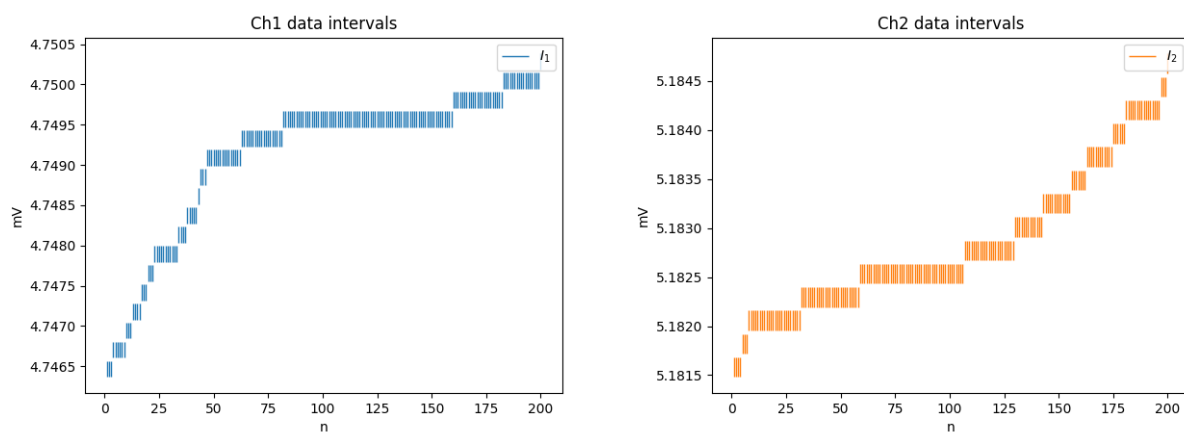


Рис. 3. Интервальное представление исходных данных

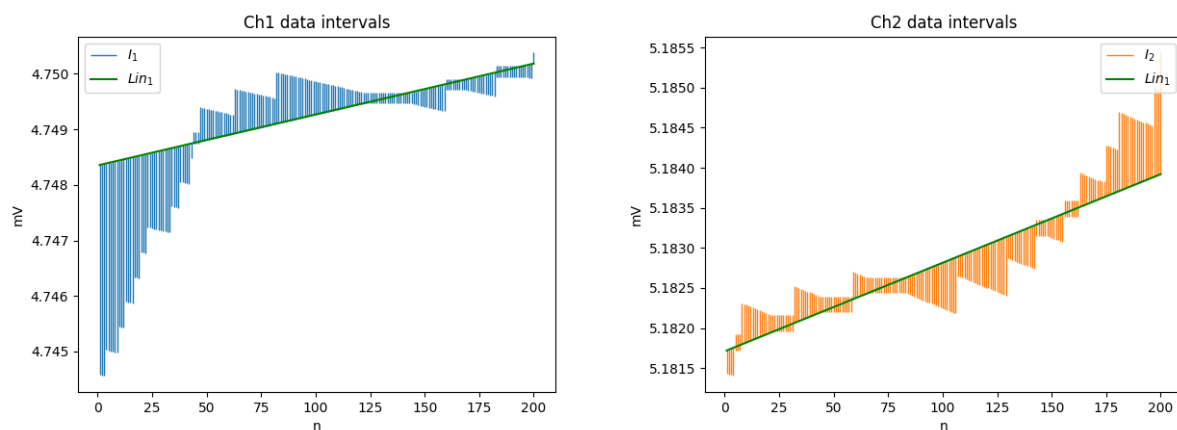


Рис. 4. Линейная модель дрейфа данных



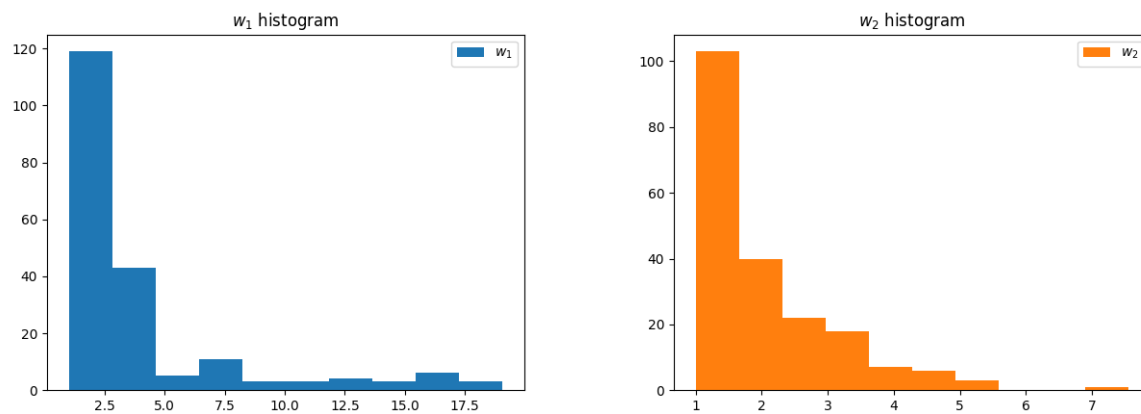


Рис. 5. Гистограммы значений множителей коррекции  $w$

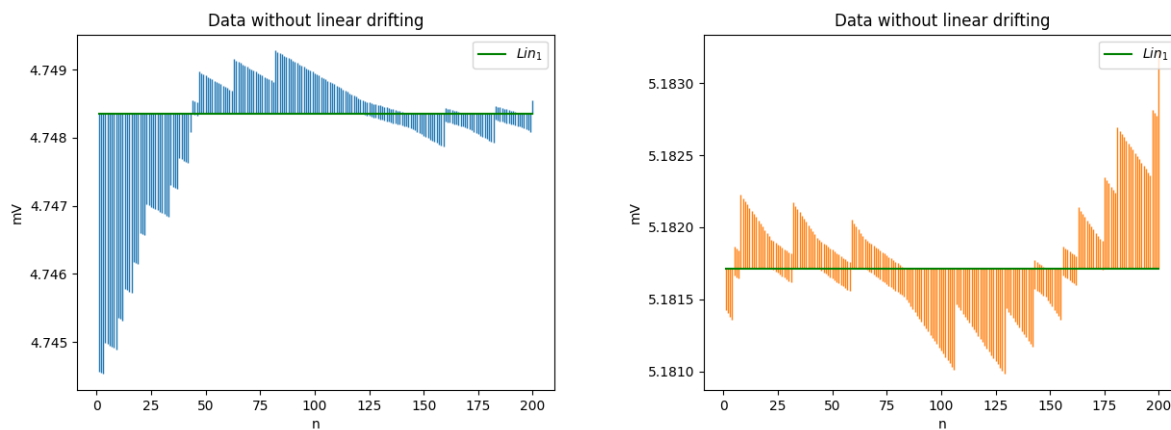


Рис. 6. Скорректированные модели данных

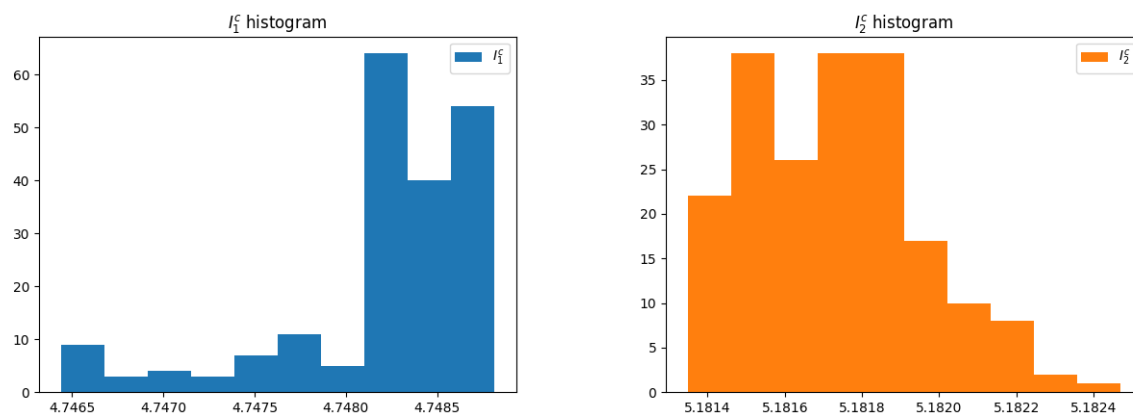


Рис. 7. Гистограммы скорректированных данных

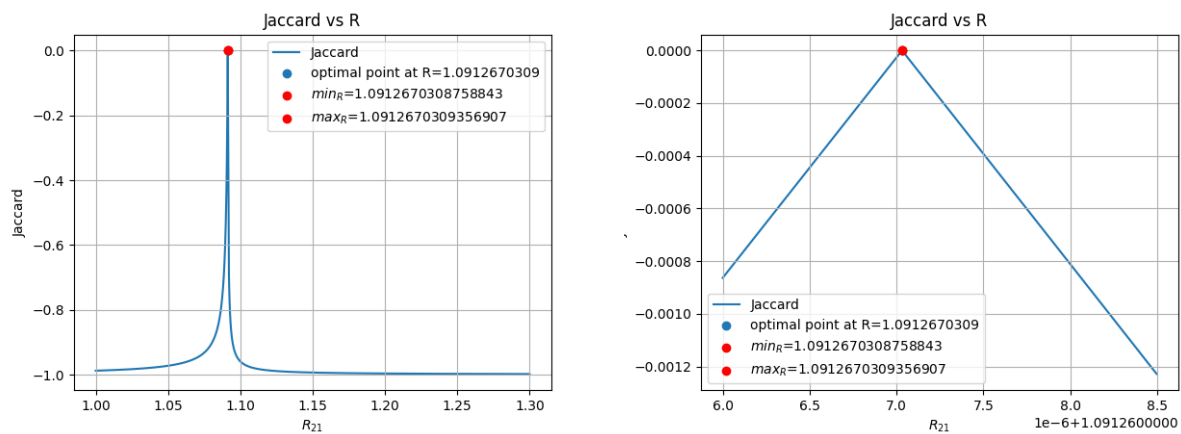


Рис. 8. Значение коэффициента Жаккара от калибровочного множителя от  $R_{21}$

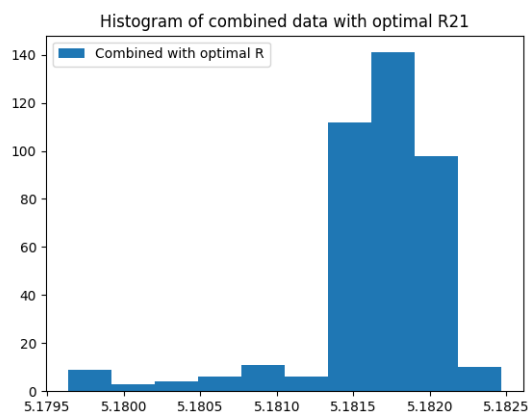


Рис. 9. Гистограмма объединённых данных при оптимальном значении  $R_{21}$

## 4. Реализация

Лабораторная работа была реализована при помощи языка программирования Python 3.10 с использованием библиотек NumPy, Matplotlib и SciPy. Работа выполнена в интегрированной среде разработки Visual Studio 2019. Отчет выполнен в онлайн-редакторе LaTeX "Overleaf" (май 2022г.)

## 5. Обсуждение

**Множители коррекции  $w$ .** На гистограммах значений множителей коррекции (Рис.5), видно, что половина (для эталлоного фотопередатчика даже больше) не требует коррекции. Это означает, что линейная модель дрейфа данных является разумным приближением.

**Коэффициент Жаккара** На рис.8 видно, что оптимальным множителем  $R_{21}$  является число, равное 1.0912670309. Однако видно, что коэффициент Жаккара при оптимальном значении едва-едва превышает 0, а интервал, при котором  $JK \geq 0$ ,  $(10^{-9} - 10^{-10})$ . Это показывает на то, что исходные данные имеют ряд неточностей, которые сложно устранить. Это же можно было и заметить на Рис.3, иллюстрирующий входные данные. Однако, как будет далее видно, подобранный коэффициент  $R_{21}$  приблизит данные первого фотоприемника к данным второго фотоприемника.

**Гистограмма объединённых данных при оптимальном значении  $R$ .** Сравнивая гистограмму объединённых данных при оптимальном значении  $R_{21}$  (Рис. 9) с гистограммами скорректированных данных (Рис. 7), видно, что гистограмма объединённых данных повторяет форму гистограммы входных данных с ФП1, однако пик гистограммы смещен в сторону значения пика на гистограмме ФП2.

## 6. Список литературы

1. М.З.Шварц. Данные технологических испытаний оборудования для калибровки фотоприемников солнечного излучения. 2022.

## 7. Ссылки на репозиторий

<https://github.com/AS2/Mathematical-statistics/tree/main/lab3> - GitHub  
репозиторий